

Pengendalian Longsor Dengan FJM 3-1 Pada Tanah Lempung

Carl Liberte Pasiyowan Kereh¹, Fabian J. Manoppo², Alva N. Sarajar³
 Teknik Sipil Universitas Sam Ratulangi Manado, Jl. Kampus Bahu-Unsrat Manado, 95115
¹libertekereh@gmail.com; ²fabian_jm@yahoo.com; ³alva_sarajar@yahoo.com

Abstrak - Dalam penelitian ini analisis kestabilan lereng dihitung dengan menggunakan software Rocscience Slide 6.0, Geostudio Geoslope R2 dan perhitungan manual metode Bishop Simplified. Hasil analisis menggunakan Rocscience Slide 6.0 diperoleh nilai faktor keamanan lereng pada kondisi normal $FK= 1,334$, pada kondisi diberi debit $0,293 \text{ m}^3/\text{jam}$ $FK= 1,295$, pada kondisi diberi debit $0,293 \text{ m}^3/\text{jam}$ dan beban 100 kN/m^2 $FK= 0,815$. Hasil analisis kestabilan lereng dengan menggunakan software Geostudio Geoslope R2 diperoleh nilai faktor keamanan pada tanah asli $FK= 1,298$, pada tanah dalam kondisi diberi hujan merata $FK= 1,329$, pada kondisi diberi debit $0,293 \text{ m}^3/\text{jam}$ dan beban 100 kN/m^2 $FK= 0,894$. Hasil perhitungan manual dengan menggunakan metode Bishop Simplified diperoleh nilai faktor keamanan pada kondisi normal $FK= 1,335$, pada kondisi diberi debit $0,293 \text{ m}^3/\text{jam}$ $FK= 1,3006$, pada kondisi diberi debit $0,293 \text{ m}^3/\text{jam}$ dan beban 100 kN/m^2 $FK= 1,3164$. Dari hasil analisis dan perhitungan kestabilan lereng, menunjukkan bahwa lereng pada kondisi normal dan lereng pada kondisi diberi debit $0,293 \text{ m}^3/\text{jam}$ dalam keadaan stabil. Sedangkan pada pemodelan di software dengan kondisi diberi debit $0,293 \text{ m}^3/\text{jam}$ dan beban 100 kN/m^2 menunjukkan bahwa lereng dalam keadaan tidak stabil.

Kata kunci — faktor keamanan, Rocscience Slide 6.0, Geostudio Geoslope R2, metode Bishop Simplified

I. PENDAHULUAN

A. Latar Belakang

Longsor merupakan peristiwa geologi yang terjadi karena adanya pergerakan masa tanah sehingga terjadi pergerakan massa tanah ke bawah atau ke arah luar lereng. Umumnya longsor dapat disebabkan oleh faktor alam dan manusia. Faktor alam dan faktor manusia tersebut antara lain adalah curah hujan yang tinggi yang berlangsung terus-menerus, peristiwa gempa bumi yang dapat menyebabkan pergeseran tanah, dan banyak terjadi penebangan hutan secara liar tanpa memikirkan dampak di kemudian hari.

Carl Liberte Pasiyowan Kereh adalah mahasiswa tingkat akhir jurusan Teknik Sipil Fakultas Teknik Universitas Sam Ratulangi Manado pada bidang Geoteknik (email : libertekereh@gmail.com);

Fabian J. Manoppo adalah dosen jurusan Teknik Sipil Fakultas Teknik Universitas Sam Ratulangi dan guru besar pada bidang Geoteknik (email : fabian_jm@yahoo.com)

Alva N. Sarajar adalah dosen jurusan Teknik Sipil Fakultas Teknik Universitas Sam Ratulangi pada bidang Geoteknik (email : alva_sarajar@yahoo.com)

Kelongsoran pada lereng dengan material tanah lempung umumnya terjadi akibat nilai kuat gesernya mengalami penurunan. Penurunan nilai kuat geser tanah biasanya terjadi akibat curah hujan yang tinggi sehingga mengakibatkan peningkatan air pori pada lereng sehingga kohesi (c) dan sudut geser dalam (ϕ) mengalami penurunan dan selanjutnya menyebabkan kelongsoran.

Longsor sangat berbahaya terhadap lingkungan disekitar lokasi terjadinya tanah longsor. Peristiwa tersebut dapat merusak konstruksi-konstruksi sipil, dan juga menimbulkan korban jiwa. Hal tersebut pastinya sangat merugikan bagi makhluk hidup dan alam sekitarnya. Oleh sebab itu penelitian tentang pengendalian longsor ini perlu dilakukan untuk mencegah hal-hal tersebut.

Untuk itu sangat diperlukan pengendalian longsor di lereng pada perencanaan konstruksi-konstruksi sipil. Pengendalian longsor harus berdasarkan model yang akurat mengenai kondisi bawah permukaan, kondisi air tanah dan pembebaran yang bekerja pada lereng.

B. Rumusan Masalah

Mengingat bahaya serta kerugian yang dapat ditimbulkan oleh longsor maka perlu dilakukan penelitian terhadap longsor dengan alat FJM 3-1 pada tanah lempung dengan pemodelan skala laboratorium.

C. Batasan Masalah

Kegiatan penelitian ini dilakukan dengan batasan sebagai berikut :

1. Sampel yang digunakan adalah tanah lempung.
2. Hanya untuk bidang kelongsoran yang berbentuk silinder
3. Untuk penelitian ini gempa tidak ditinjau.
4. Alat FJM 3-1 hanya untuk mengendalikan longsor.
5. Analisis stabilitas lereng dilakukan dengan perhitungan manual dan software Slide 6.0 dan Geoslope R2.

D. Tujuan Penelitian

1. Mendapatkan nilai faktor keamanan dengan menggunakan Software Slide 6.0, Geostudio Geoslope R2 dan perhitungan manual metode Bishop Simplified.
2. Mendapatkan perbandingan nilai faktor keamanan pada software Rocscience Slide 6.0 dan Geostudio Geoslope R2.

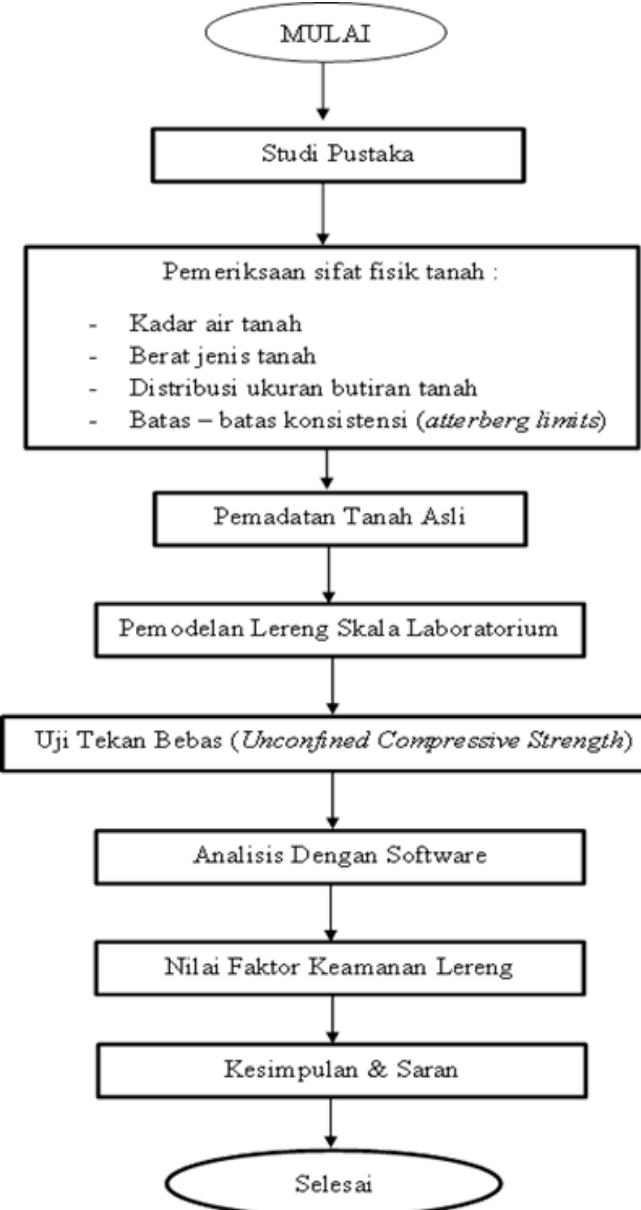
E. Manfaat Penelitian

1. Mendapatkan pengetahuan mengenai faktor keamanan lereng berdasarkan pemodelan di laboratorium.
 2. Dapat mengaplikasikan software dalam bidang geoteknik yaitu Slide 6.0 dan Geoslope R2.
 3. Hasil penelitian dapat digunakan sebagai masukan dan pertimbangan bagi penelitian sejenis.

II. METODOLOGI PENELITIAN

A. Bagan Alir

Kegiatan penelitian mengikuti bagan alir pada Gambar 1.



Gambar 1. Bagan Alir Penelitian

B. Analisis Hasil Penelitian

Pengujian yang telah dilaksanakan akan menghasilkan nilai parameter tanah untuk dianalisa dengan software

Rocscience Slide 6.0, Geostudio Geoslope R2 dan metode Bishop Simplified sehingga akan diperoleh nilai faktor keamanan.

III. HASIL DAN PEMBAHASAN

A. Hasil Penelitian Karakteristik Tanah

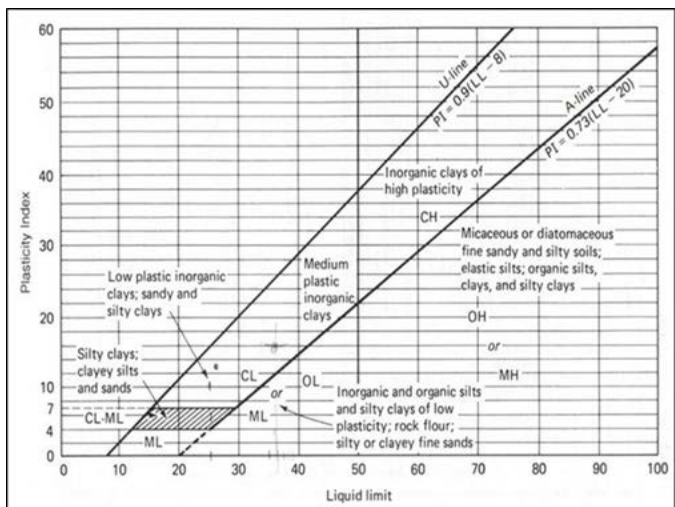
Hasil analisis karakteristik adalah sebagai berikut :

TABEL 1. UJI KARAKTERISTIK TANAH

No	Karakteristik	Nilai
1	Kadar air tanah asli	45,13%
2	Berat jenis (<i>Specific Gravity</i>)	2,51
3	Lolos saringan no.200	51,17%
4	Batas Cair (<i>Liquit Limit, LL</i>)	52
5	Batas Plastis (<i>Plastic Limit, PL</i>)	20,88
6	Indeks Plastisitas (<i>Plasticity Index, PI</i>)	31,12
7	Kepada tanah Asli (γ)	1,7 t/m ³

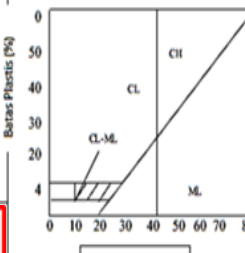
Berdasarkan hasil pengujian karakteristik pada Tabel 1 maka dapat disimpulkan beberapa hal, yaitu:

- a. Berdasarkan nilai presentase lolos saringan no.200 tanah lempung, didapat hasil $\geq 50\%$ lolos, maka berdasarkan tabel klasifikasi USCS tanah ini secara umum dikategorikan kedalam golongan tanah berbutir halus.
 - b. Tabel sistem klasifikasi USCS untuk data batas cair dan indeks plastisitas di plot pada diagram plastis sehingga dapat identifikasi tanah yang lebih spesifik. Hasil dapat dilihat pada Gambar 2.



Gambar 2. Diagram Plastisitas Tanah Berbutir Halus USCS

Dapat dilihat dari Gambar 2 bahwa hasil plot menunjukkan suatu titik pertemuan dititik A, yang mana titik temu itu menjelaskan jenis tanah yang diuji. Dengan merujuk pada hasil diatas maka tanah berbutir halus tersebut termasuk kedalam kelompok campuran CH yaitu lempung anorganik dengan plastisitas tinggi, lempung “gemuk” (fat clays) dengan Indeks Plastisitas sebesar 31,12 %.

Divisi Utama		Simbol	Nama Umum	Kriteria Klasifikasi
Tanah berbutir kasar ≥ 50% batiran terdiri satungan No. 200 Pasir ≥ 50% fraksi kasar 1 loes satungan No. 4 Pasir dengan butiran halus	Kerikil bergradasi-baik dan campuran kerikil-pasir, sedikit atau sama sekali tidak mengandung butiran halus	GW	Kerikil bergradasi-baik dan campuran kerikil-pasir, sedikit atau sama sekali tidak mengandung butiran halus	$Cu = \frac{D_{20}}{D_{10}} > 4$ $Cc = \frac{(D_{20})^2}{D_{10} \times D_60}$ Antara 1 dan 3
		GP	Kerikil bergradasi-buruk dan campuran kerikil-pasir, sedikit atau sama sekali tidak mengandung butiran halus	Tidak memenuhi kedua kriteria untuk GW
	Kerikil berlanau, campuran kerikil-pasi-lanau	GM	Kerikil berlanau, campuran kerikil-pasi-lanau	Batas-batas Atterberg di bawah garis A atau $PI < 4$
		GC	Kerikil berlempung, campuran kerikil-pasi-lempung	Batas-batas Atterberg di bawah garis A atau $PI > 7$
	Pasir bergradasi-baik , pasir berkerikil, sedikit atau sama sekali tidak mengandung butiran halus	SW	Pasir bergradasi-baik , pasir berkerikil, sedikit atau sama sekali tidak mengandung butiran halus	$Cu = \frac{D_{20}}{D_{10}} > 6$ $Cc = \frac{(D_{20})^2}{D_{10} \times D_60}$ Antara 1 dan 3
		SP	Pasir bergradasi-buruk, pasir berkerikil, sedikit atau sama sekali tidak mengandung butiran halus	Tidak memenuhi kedua kriteria untuk SW
	Pasir berlanau, campuran pasir-lanau	SM	Pasir berlanau, campuran pasir-lanau	Batas-batas Atterberg di bawah garis A atau $PI < 4$
		SC	Pasir berlempung, campuran pasir-lempung	Batas-batas Atterberg di bawah garis A atau $PI > 7$
	Lanau dan lempung batas cair ≤ 50%	ML	Lanau anorganik, pasir halus sekali, serbus batuan, pasir halus berlanau atau berlempung	Diagram Plastitas: Untuk mengklasifikasi kadar butiran halus yang terkandung dalam tanah berbutir halus dan kasar. Batas Atterberg yang termasuk dalam daerah yang diarsir berarti batasan klasifikasinya menggunakan dua simbol.
		CL	Lempung anorganik dengan plastisitas rendah sampai dengan sedang lempung berkerikil, lempung berpasir, lempung berlanau, lempung "kurus" (lean clay)	
Lanau dan lempung batas cair ≥ 50%	OL	Lanau-organik dan lempung berlanau organik dengan plastisitas rendah		
	MH	Lanau anorganik atau pasir halus diatomae, atau lanau diatomae, lanau yang elastis		
Tanah-tanah dengan kandungan organik sangat tinggi	CH	Lempung anorganik dengan plastisitas tinggi, lempung "gemuk" (fat clay)		
	OH	Lempung organik dengan plastisitas sedang sampai dengan tinggi	$Garis A : PI = 0.73 (LL-20)$	
PT	Pasir (gambet), misk, dan tanah-tanah lain dengan kandungan organik tinggi		Manual untuk identifikasi secara visual dapat dilihat di ASTM Designation D-2488	

Gambar 3. Tabel Sistem Klasifikasi USCS

B. Pembahasan

Adapun data-data tanah yang digunakan dalam perhitungan faktor keamanan lereng, sebagai berikut :

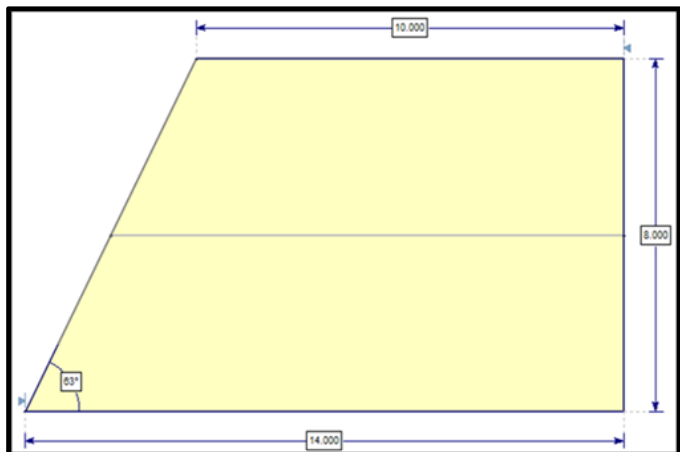
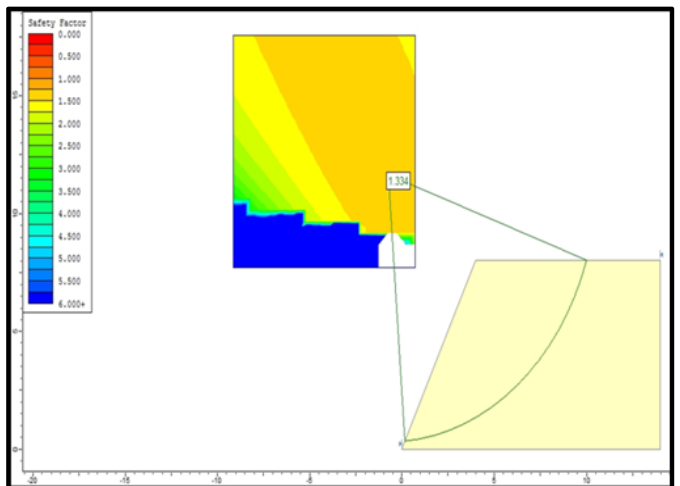
- Data tanah lereng keadaan normal :
 - Kadar air (w) = 45,13%
 - Berat isi tanah (γ) = 1,7 t/m³
 - Kohesi tanah (c_u) = 35,11 kN/m²
- Data tanah pada percobaan model tes (setelah diberi debit 0,293 m³/jam) :

A. Lapisan Atas Lereng

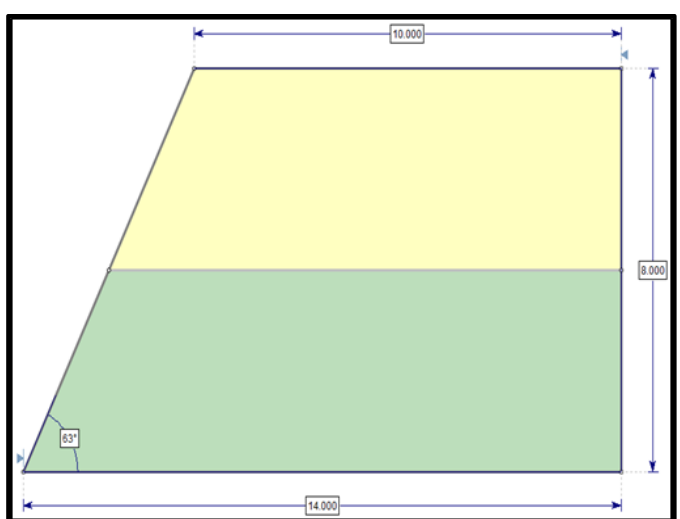
- Kadar air (w) = 45,35%
- Berat isi tanah (γ) = 1,776 t/m³
- Kohesi tanah (c_u) = 34,73 kN/m²

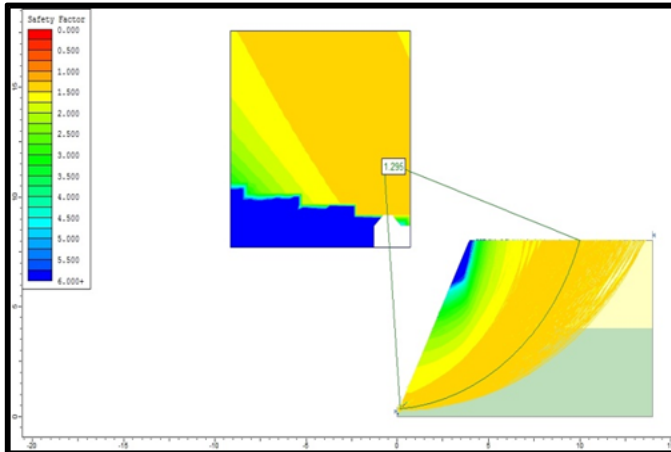
B. Lapisan Bawah Lereng

- Kadar Air (w) = 45,6 %
- Berat Isi tanah (γ) = 1,77 t/m³
- Kohesi Tanah (c_u) = 34,7 KN/m²

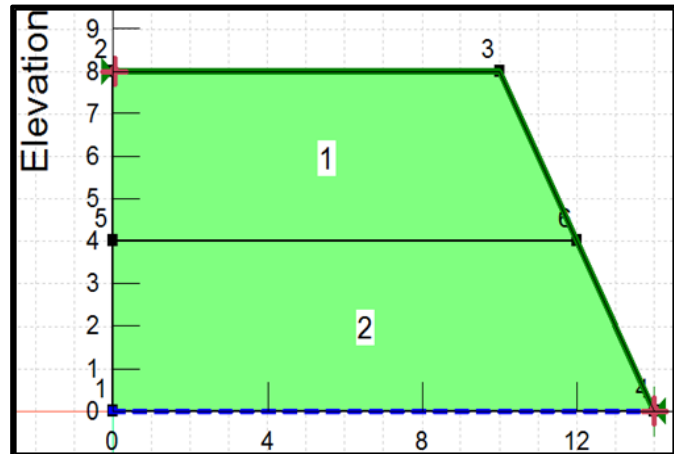
Gambar 4. Pemodelan Lereng Pada Software Rocscience Slide 6.0
Lereng Kondisi Normal

Gambar 5. Hasil Analisis Kestabilan Lereng Menggunakan Software Rocscience Slide 6.0 - Lereng Kondisi Normal

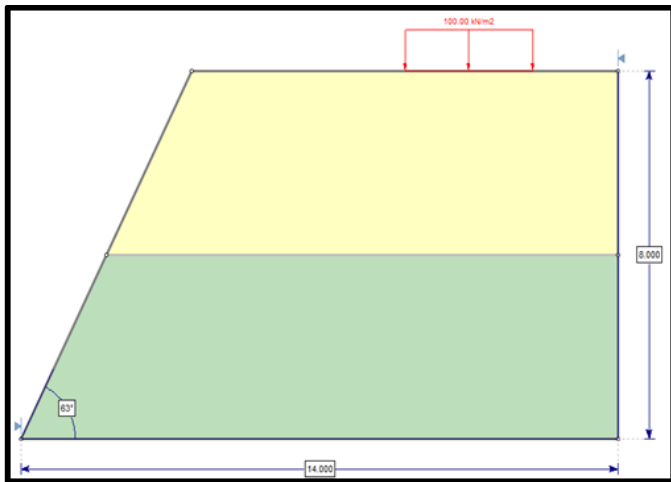
Gambar 6. Pemodelan Lereng Pada Software Rocscience Slide 6.0
Lereng Kondisi Diberi Debit 0,293 m³/jam



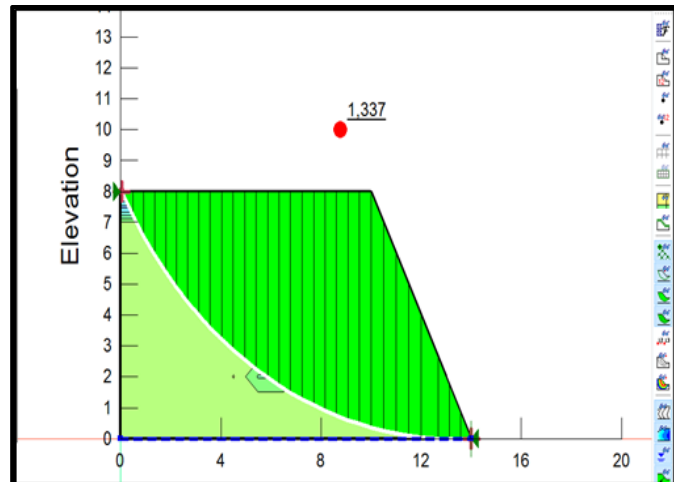
Gambar 7. Hasil Analisis Kestabilan Lereng Menggunakan Software Rocscience Slide 6.0 - Lereng Kondisi Diberi Debit 0,293 m³/jam



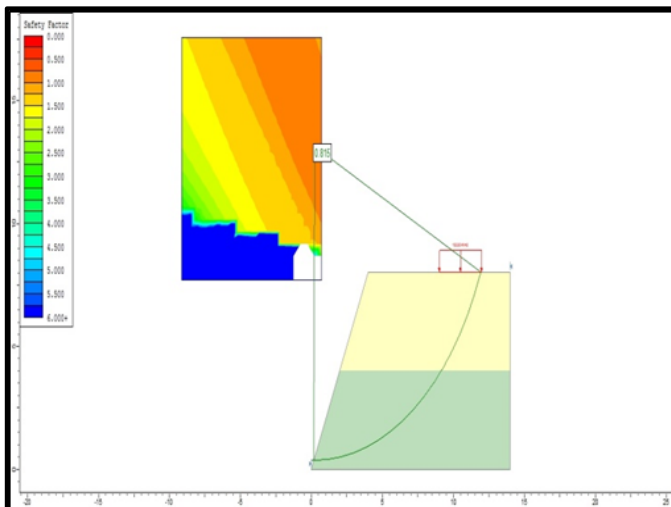
Gambar 10. Pemodelan Lereng Pada Software Geostudio Geoslope R2 Kondisi Normal



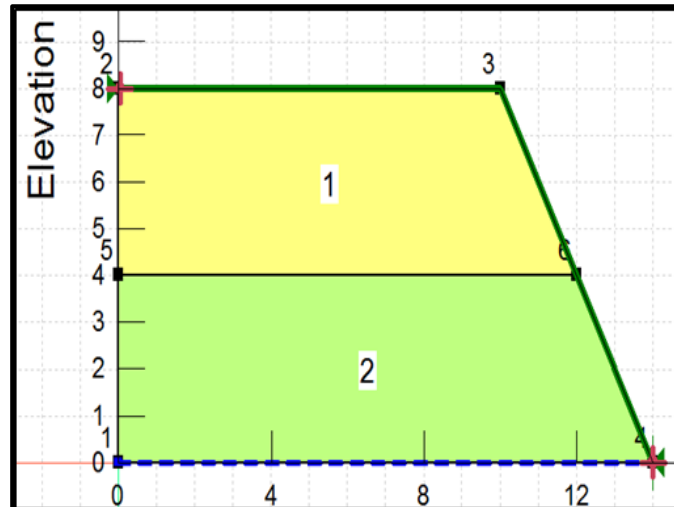
Gambar 8. Pemodelan Lereng Pada Software Rocscience Slide 6.0 - Lereng Kondisi Diberi Debit 0,293 m³/jam Dan Beban 100 kN



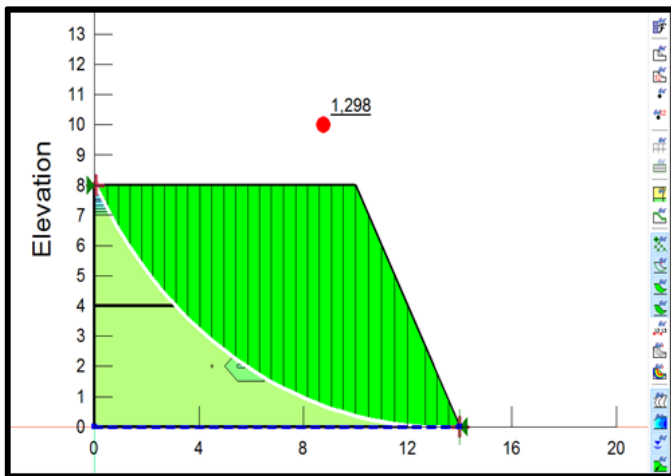
Gambar 11. Hasil Analisis Kestabilan Lereng Menggunakan Software Geostudio Geoslope R2 - Lereng Kondisi Normal



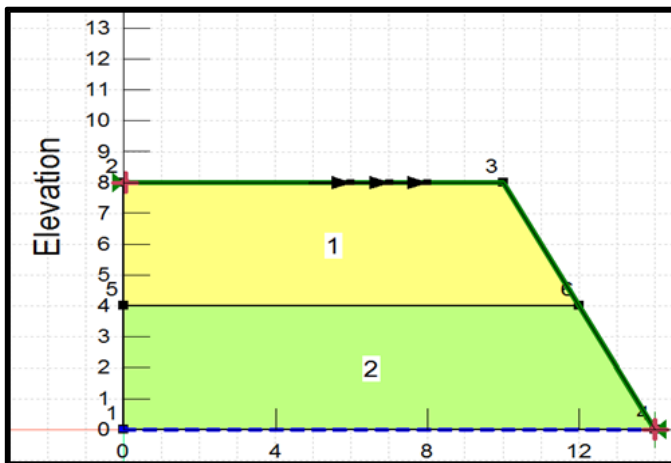
Gambar 9. Hasil Analisis Kestabilan Lereng Menggunakan Software Rocscience Slide 6.0 - Lereng Kondisi Diberi Debit 0,293 m³/jam Dan Beban 100 kN



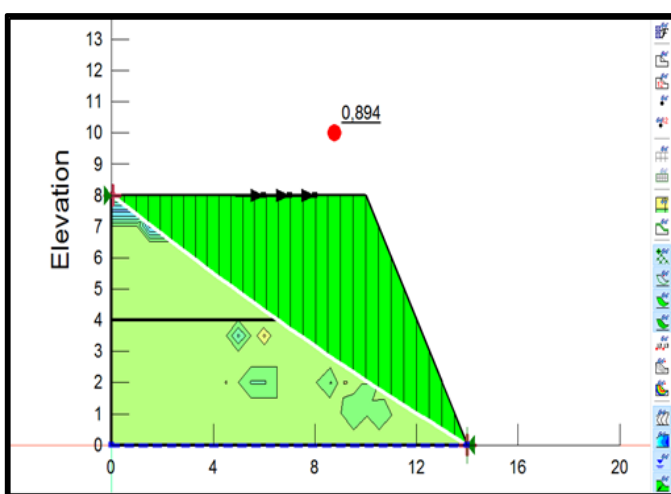
Gambar 12. Pemodelan Lereng Pada Software Geostudio Geoslope R2 - Lereng Kondisi Diberi Debit 0,293 m³/jam



Gambar 13. Hasil Analisis Kestabilan Lereng Menggunakan Software Geostudio Geoslope R2 - Lereng Kondisi Diberi Debit 0,293 m³/jam



Gambar 14. Pemodelan Lereng Pada Software Geostudio Geoslope R2 - Lereng Kondisi Diberi Debit 0,293 m³/jam Dan Beban 100 kN



Gambar 15. Hasil Analisis Kestabilan Lereng Menggunakan Software Geostudio Geoslope R2 - Lereng Kondisi Diberi Debit 0,293 m³/jam Dan Beban 100 kN

TABEL 2. NILAI FAKTOR KEAMANAN HASIL ANALISIS MENGGUNAKAN SOFTWARE DAN PERHITUNGAN MANUAL

Kondisi Lereng	γ (t/m ³)	W (%)	C (kN/m ²)	Rocscience Slide 6.0	Geoslope R2	Perhitungan Manual
Normal	1,780	45,3	35,11	1,334	1,337	1,3335
Diberi debit 0,241 m ³ /jam	1,776 1,770	45,35 45,6	34,73 34,7	1,295	1,298	1,300
Diberi debit 0,241 m ³ /jam dan beban 100 kN/m ²	1,776 1,770	45,35 45,6	34,73 34,7	0,815	0,894	1,3164

IV. KESIMPULAN DAN SARAN

A. Kesimpulan

Dari hasil dan pembahasan yang telah dianalisa, dapat diambil kesimpulan sebagai berikut :

- Setelah melakukan pengujian pemodelan tes dilaboratorium selanjutnya analisis dilakukan dengan menggunakan software Rocscience Slide 6.0 dan Geostudio Geoslope R2 dengan metode Simplified Bishop. Pada software Rocscience Slide 6.0 nilai faktor keamanan untuk lereng kondisi normal = 1,334; kondisi diberi debit 0,293 m³/jam = 1,295; kondisi diberi debit 0,293 m³/jam dan beban 100 kN/m² = 0,815. Pada software Geostudio Geoslope R2 nilai faktor keamanan pada lereng kondisi normal = 1,337; kondisi diberi debit 0,241 m³/jam = 1,298; kondisi diberi debit 0,293 m³/jam dan beban 100 kN/m² = 0,894.
- Berdasarkan nilai faktor keamanan software Rocscience Slide 6.0 dan Geostudio Geoslope R2 maka lereng yang dimodelkan dilaboratorium dalam kategori stabil.
- Pada kondisi lereng yang telah diberi debit 0,293 m³/jam alat FJM 3-1 tidak dapat difungsikan karena debit tidak cukup untuk membuat lereng longsor.

B. Saran

- Diperlukan pengujian di laboratorium dengan skala yang lebih besar dengan alat penunjang yang lengkap untuk membuat debit yang lebih besar, agar alat FJM 3-1 dapat difungsikan.
- Diperlukan variasi kemiringan lereng yang dimodelkan di laboratorium untuk mendapatkan kondisi kritis, agar lereng bisa longsor.
- Diperlukan variasi jenis tanah yang akan dimodelkan di laboratorium.

V. KUTIPAN

A. Buku

- [1] Braja M. Das, *Mekanika Tanah – Prinsip-prinsip Rekayasa Geoteknis Jilid 1*. Jakarta: Erlangga, 1998.
- [2] Braja M. Das, *Mekanika Tanah – Prinsip-prinsip Rekayasa Geoteknis Jilid 2*. Jakarta: Erlangga, 1998.
- [3] Hardy C. Hardiyatmo, *Mekanika Tanah I*. Yogyakarta: Gadjah Mada University Press, 2014.
- [4] D. M. Cruden, D. J. Varnes, *Landslide Types and Processes, in Special Report 247: Landslide, Investigation and Mitigation* (A.K. Turner and R.L. Schuster, eds.). Washington DC: Transportation Research Board, National Research Council, National Academy Press, 1996.

B. Jurnal

- [5] Octovian Rajagukguk, Arens E. Turangan, Sartje Monintja, “Analisis Kestabilan Lereng dengan Metode Bishop Contoh Kasus : Kawasan Citraland,” dalam Jurnal Tekno, 2014.
- [6] Priska C. L. Lengkong, J. E. R. Sumampouw, Alva N. Sarajar, “Hubungan Kuat Geser Pada Tanah dengan Hasil Percobaan Dynamic Cone Penetrometer Pada Ruas Jalan Wori-Likupang Kab. Minahasa Utara,” dalam Jurnal Sipil Statik Vol. 1, No. 5, 2013.
- [7] Giverson J. Rolos, Arens E. Turangan, O. B. A. Sompie, “Analisa Kestabilan Lereng Metode Lowe-Karafiat (Studi Kasus : Glory Hill Citraland),” dalam Jurnal Tekno, 2017.
- [8] Cut Meutia Ratag, Agnes T. Mandagi, Roski R. I. Legrans, “Analisis Dinding Mechanically Stabilized Earth (MSE) (Studi Kasus: Ruas Jalan Tol Manado Bitung STA 6+475),” dalam Jurnal Sipil Statik, 2018.
- [9] Virginia Turangan, Fabian J. Manoppo, O. B. A. Sompie, “Analisis Kestabilan Lereng Dengan Alat FJM 2017, Study Kasus Jalan Manado – Tomohon (Tinoor),” dalam Jurnal Pascasarjana UNSRAT, 2017.